

Nourrir le monde.
d'intelligences



esa
ÉCOLE SUPÉRIEURE
D'AGRICULTURES
Angers Loire





Caractérisation biochimique des raisins botrytisés en fonction de leur niveau de pourriture noble

Chantal Maury, Daniel Carbajal-Ida, Erika Salas, René Siret

USC GRAPPE, *École Supérieure d'Agricultures d'Angers*, France

Facultad de Ciencias Químicas, Universidad Autónoma de Chihuahua, Mexique

Introduction

SUCRE



Barbeau *et al.*, 1998

Ribéreau-Gayon, 2006

TEXTURE



glycérol

Jackson, 2008

Hong *et al.* 2012

Tosi *et al.* 2012

COULEUR



Botrytis
cinerea



AROMES



Miel, coing, poire

Sarrazin *et al.*, 2007

Thibon *et al.*, 2009

Introduction

SANTE

Flavonols/
Stilbènes

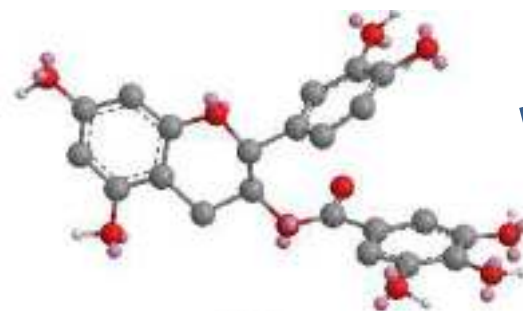


Nikfardjam, 2006

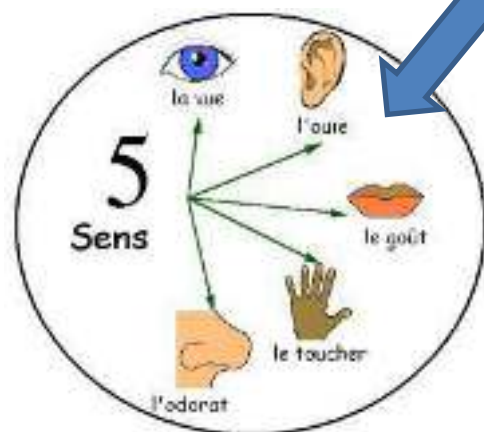
Landreau *et al*, 2002

Roland *et al*, 2010

Composition phénolique ?



**LA PERCEPTION
DU VIN**



**COMPREHENSION
DU METABOLISME**

Blanco-Ulate *et al*, 2015

STABILITE
Risque
d'oxydation

COULEUR



STRUCTURE en bouche



Introduction



**Quelles sont les caractéristiques
biochimiques des raisins de différents faciès
de *Botrytis cinerea* sous forme de pourriture
noble?**

Le matériel végétal

3 Parcelles, Rablay sur Layon
Domaine Chauvin

Chenin banc

(2012 et) **2013**



Porte-greffes
Age de la vigne

Faciès L0

+ Ctrl



Faciès L1



Faciès L2



Sélection visuelle

Carey *et al*, 2004

Résultats



Maturité technologique

Faciès	2013		
	pH	acidité totale g H ₂ SO ₄ L ⁻¹	°Brix
Ctr	2,95 ^a	7,8 ^a	20,6 ^a
L0	2,95 ^a	7,2 ^b	19,6 ^b
L1	3,17 ^b	6,3 ^c	23,2 ^c
L2	3,28 ^c	6,1 ^d	24,7 ^d

⇒ Maturités satisfaisantes

⇒ Même si n'atteignent pas les niveaux
 « classiques » Barbeau *et al* (1998)

Indicateurs de la présence de pourriture noble

	Ribéreau-Gayon 2006	Hausinger et al 2015	Grassin, 1989
Faciès	Acide gluconique (g/L)	Glycérol (g/L)	Activité laccase (Ulac/mL)
Ctrl	0 ^a	2,1 ^a	0,2 ^a
L0	0 ^b	2,2 ^b	0,7 ^b
L1	0,4 ^c	6,8 ^c	5,1 ^c
L2	0,8 ^d	9,0 ^d	6,0 ^d

=> Concentrations dépendantes du faciès

Indicateurs de la présence de pourriture noble

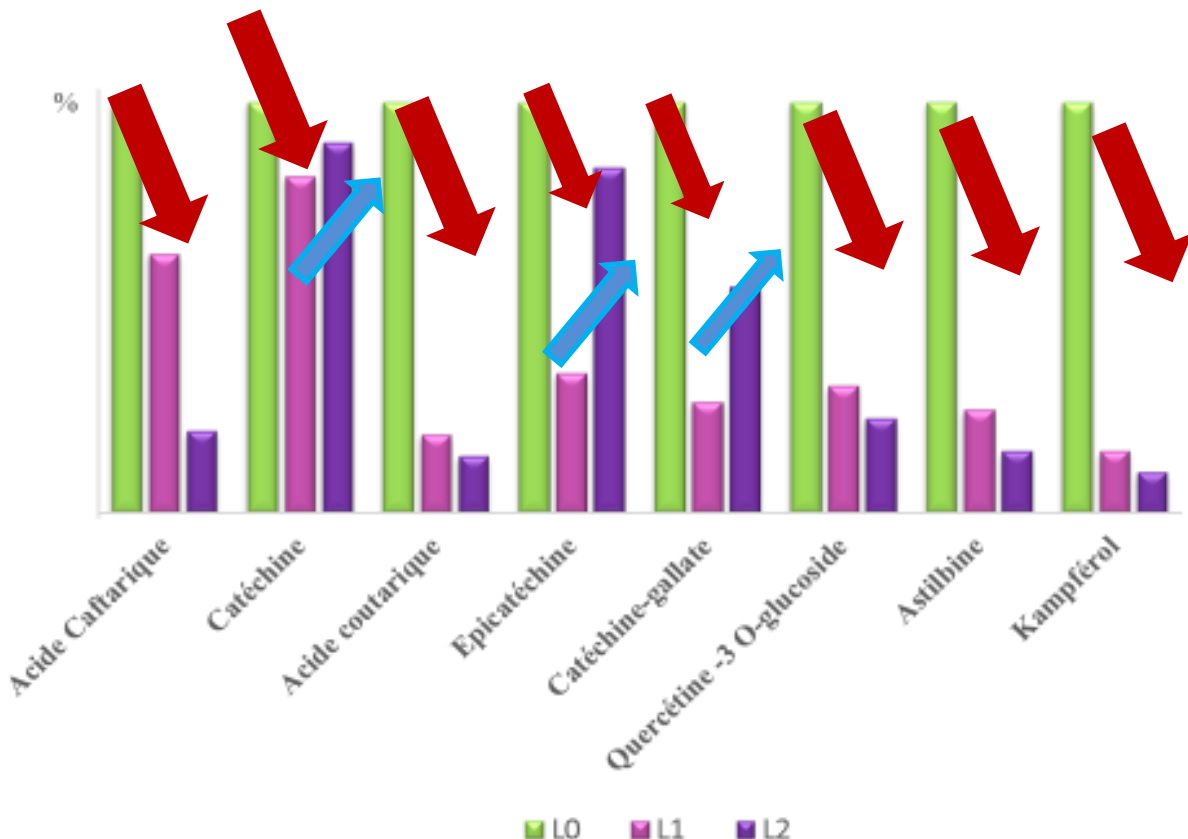
Quels sont les indicateurs de la présence de pourriture noble dans le raisin ?



Acide gluconique, glycérol et l'activité laccase

Composition phénolique

Composés phénoliques simples

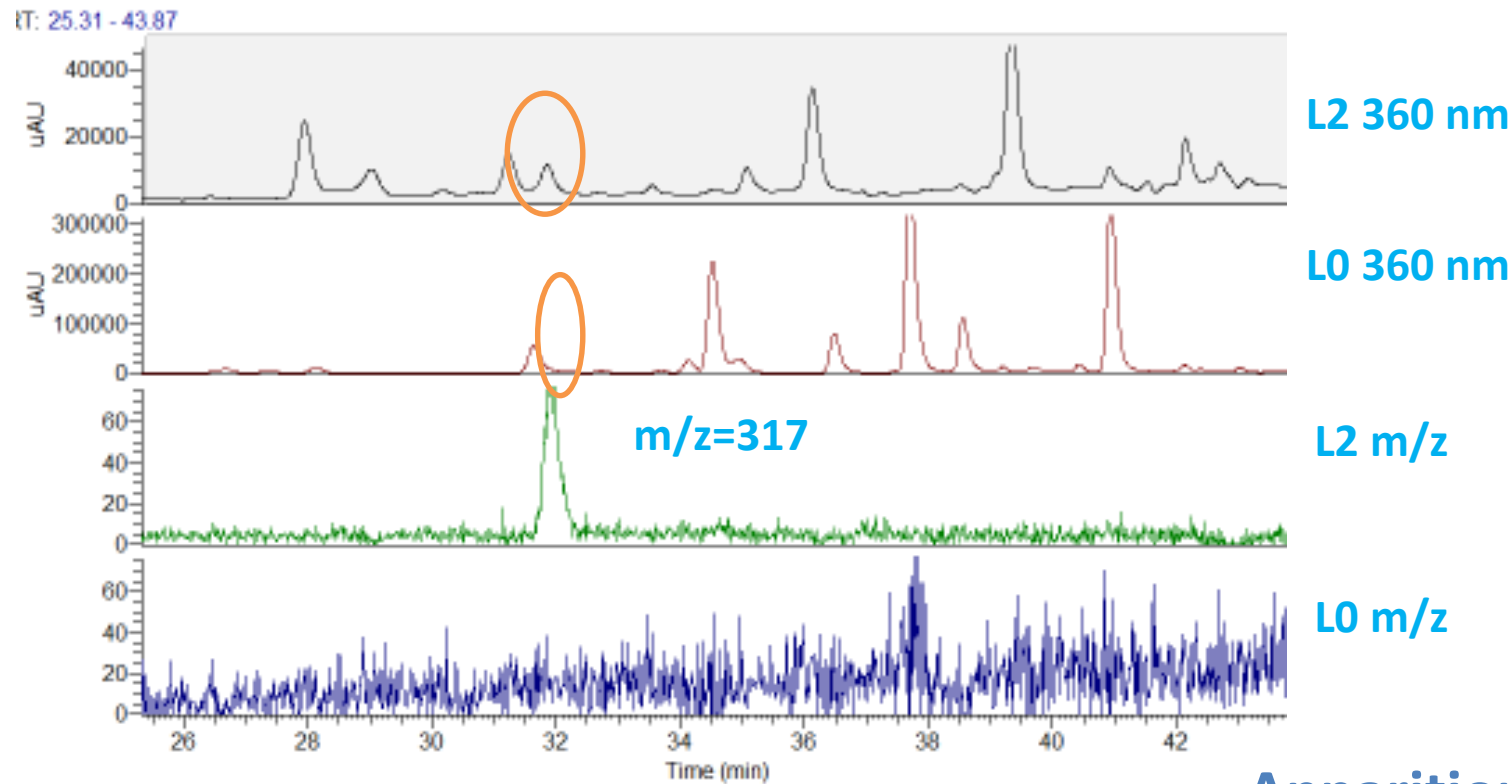


Diminution des
composés
phénoliques
simples
Suivi d'une
augmentation
pour la cat, épi et
cat-gallate

Carbajal-Ida, 2015

Composition phénolique

Nouveau composé détecté



Concentration myricétine

Ctrl : 0

L0 : 0

L1 : 0

L2 : 13,53
µg/kg

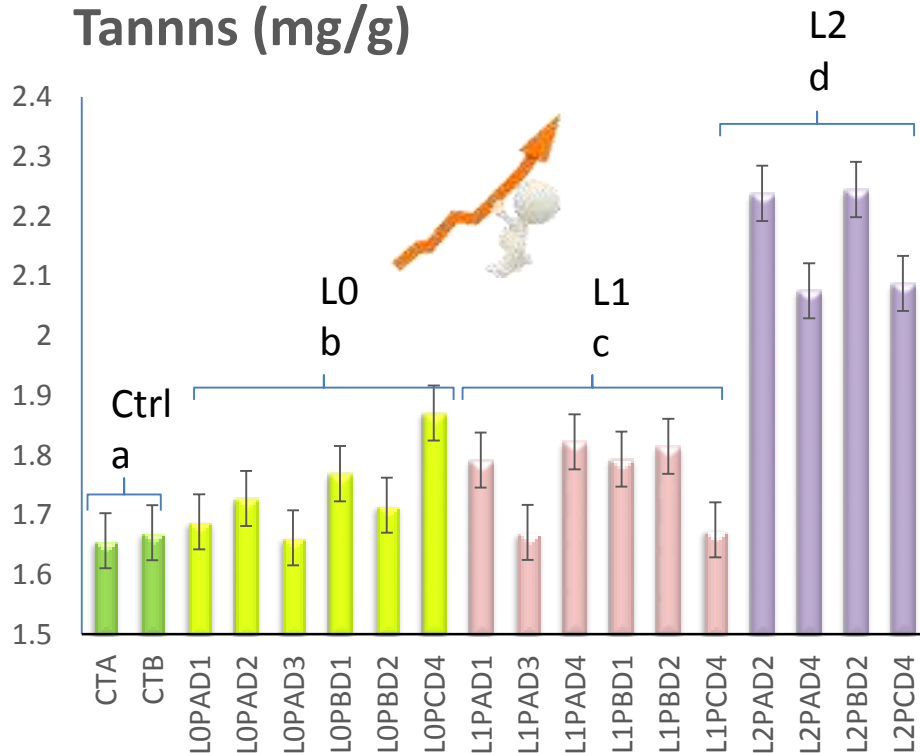
Apparition de la
myricétine au
faciès L2

18 janvier 2017, Angers

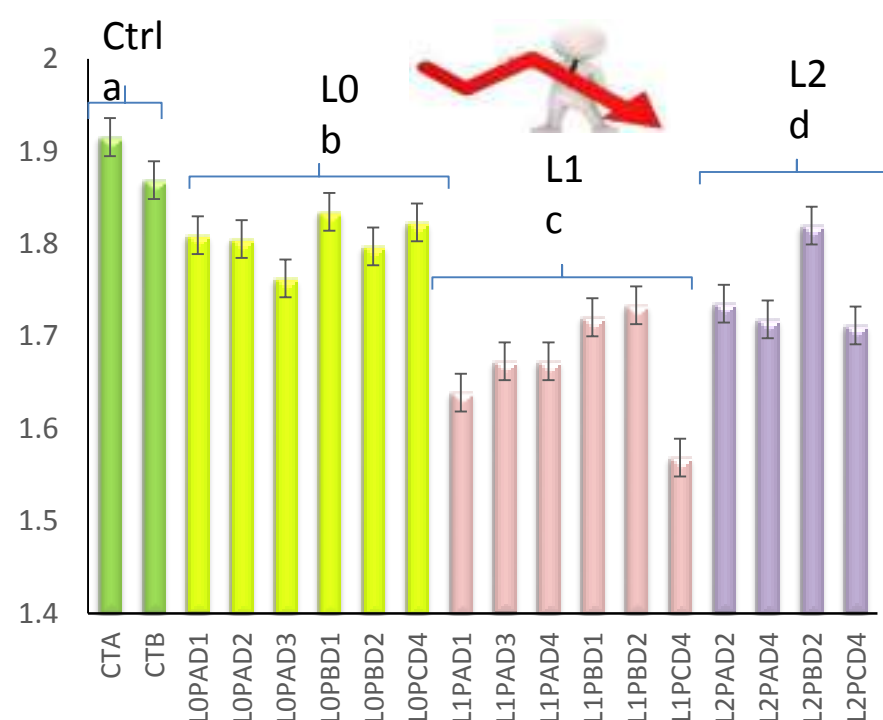
Composition phénolique

Tanins

Tannins (mg/g)



DPm



Globalement augmentation de la concentration en tanins et diminution du DPm

Composition phénolique

Les teneurs en composés phénoliques sont-elles différentes en fonction des faciès des raisins botrytisés pourriture noble ?





Composition phénolique

Les teneurs en composés phénoliques sont-elles différentes en fonction des faciès des raisins botrytisés pourriture noble ?

OUI :

- **Diminution de la concentration en composés phénoliques simples,**
avec augmentation à partir de L2 de certains composés
- **Apparition de la myricétine au faciès L2**
- **Modification de la concentration et de la nature des tanins au cours de l'évolution de la pourriture noble**
=> changement au niveau métabolisme

Conclusion et perspectives



Composition biochimique des raisins bien différenciées en fonction des faciès

- Vérifier synthèse myricétine
- Vérifier différences pourriture noble/pourriture grise
- Vérifier sur autre cépage (Sémillon)
- Analyses sensorielles de jus de différents faciès
- Analyses chimiques et sensorielle de vins issus de faciès définis
- Mieux caractériser les évolutions des composés phénoliques lors de niveaux avancés en pourriture noble (oxydation ?)

Merci pour le financement



Doctorat de Daniel Carbajal

ESA – USC GRAPPE
CONACYT France/Mexique

Domaine Chauvin (Rablay sur Layon)

Merci de votre attention



Références bibliographiques

- **Barbeau, G., Maite, C., Sinaeve, H., Asselin, C., & Morlat, R. (1998).** Evolution de la surmaturation du cépage Chenin dans différents terroirs des Coteaux du Layon en relation avec les variables agroviticoles. In *Simposio internazionale "Territorio e vino*, Siene, Italie, 20-24 mai (pp. 19-24).
- **Blanco-Ulate, B., Amrine, K.C., Collins, T.S., Rivero, R.M., Vicente, A.R., Morales-Cruz, A., Doyle, C.L., Ye, Z., Allen, G., Heymann, H. and Ebeler, S.E. (2015).** Developmental and metabolic plasticity of white-skinned grape berries in response to *Botrytis cinerea* during noble rot. *Plant physiology*, 169(4), 2422-2443
- **Carabajal-Ida, D. C. MAURY, E. SALAS, R. SIRET, E. MEHINAGIC.** (2015) Physico-chemical properties of botrytised Chenin blanc grapes to assess the extent of noble rot. European Food Research and Technology, 2016, Volume 242, Issue 1, pp 117-126
- **Carey, V., Barbeau, G., Cadot, Y., Conradie, W.J., and Vermeulen, A. (2004).** The implications of terroir for development of *Botrytis cinerea* into grey rot or noble rot on grapes of *vitis vinifera* l. Cv. Chenin blanc. Congrès de L'OIV, Vienna, Autriche, 4-9 juillet 2004
- **Hausinger, K., Lipps, M., Raddatz, H., Rosch, A., Scholten, G., & Schrenk, D. (2015).** Automated optical grape-sorting of rotten grapes: effects of rot infections on gluconic acid concentrations and glycerol/gluconic acid ratios in must and wine. *Journal of wine research*, 26(1), 18-28.
- **Grassin, C., & Dubourdieu, D. (1989).** Quantitative determination of Botrytis laccase in musts and wines by the syringaldazine test. *Journal of the Science of Food and Agriculture*, 48(3), 369-376.
- **Hong, Y. S., Martinez, A., Liger-Belair, G., Jeandet, P., Nuzillard, J. M., & Cilindre, C. (2012).** Metabolomics reveals simultaneous influences of plant defence system and fungal growth in *Botrytis cinerea*-infected *Vitis vinifera* cv. Chardonnay berries. *Journal of Experimental Botany*, 63(16), 5773-5785
- **Jackson, R. S. (2008).** *Wine science: principles and applications*. Third edition. Academic press. Elsevier, San Diego, California, USA.

- **Landrault, N.**, Larronde, F., Delaunay, J.-C., Castagnino, C., Vercauteren, J., Merillon, J.-M., Gasc, F., Cros, G., and Teissedre, P.-L. **(2002)**. Levels of stilbene oligomers and astilbin in French varietal wines and in grapes during noble rot development. *Journal of Agricultural and Food Chemistry*, 50, 2046–2052.
- **Nikfardjam, M. P.**, László, G. Y., & Dietrich, H. (2006). Resveratrol-derivatives and antioxidative capacity in wines made from botrytized grapes. *Food chemistry*, 96(1), 74-79.
- **Ribéreau-Gayon, P.**, Dubourdieu, D., Donèche, B., & Lonvaud, A. (Eds.). **(2006)**. *Handbook of enology, the microbiology of wine and vinifications*, Vol. 1, 2nd Edition. John Wiley & Sons
- **Roland, A.**, Schneider, R., Razungles, A., Le Guernevé, C., & Cavelier, F. **(2010)**. Straightforward synthesis of deuterated precursors to demonstrate the biogenesis of aromatic thiols in wine. *Journal of Agricultural and Food Chemistry*, 58(19), 10684-10689
- **Sarrazin, E.**, Dubourdieu, D., and Darriet, P. **(2007)**. Characterization of key-aroma compounds of botrytized wines, influence of grape botrytization. *Food Chemistry* 103, 536–545
- **Thibon, C.**, Dubourdieu, D., Darriet, P., & Tominaga, T. (2009). Impact of noble rot on the aroma precursor of 3-sulfanylhexanol content in *Vitis vinifera* L. cv Sauvignon blanc and Semillon grape juice. *Food Chemistry*, 114(4), 1359–1364.
- **Tosi, E.**, Fedrizzi, B., Azzolini, M., Finato, F., Simonato, B., and Zapparoli, G. **(2012)**. Effects of noble rot on must composition and aroma profile of Amarone wine produced by the traditional grape withering protocol. *Food Chemistry*, 130, 370–375